

# استفاده از مدل هوش مصنوعی مرکب نظارت شده برای بهبود مدل دراستیک (مطالعه موردی: آبخوان دشت اردبیل)

مریم قره خانی<sup>\*</sup>، عطاالله ندیری<sup>\*\*</sup> و اصغر اصغری<sup>\*\*\*</sup> مقدم<sup>\*\*\*</sup>

<sup>\*</sup>دانشجوی دکترا، دانشکده علوم طبیعی، دانشگاه تبریز، تبریز، ایران

<sup>\*\*</sup>استادیار، دانشکده علوم طبیعی، دانشگاه تبریز، تبریز، ایران

<sup>\*\*\*</sup>استاد، دانشکده علوم طبیعی، دانشگاه تبریز، تبریز، ایران

تاریخ پذیرش: ۱۳۹۵/۰۲/۲۵

## چکیده

آلودگی منابع آب زیرزمینی به علت نفوذ آلاینده‌ها از سطح زمین به سامانه آب زیرزمینی بهوژه در مناطق خشک و نیمه‌خشک که با کمبود کمی و کیفی منابع آب روبه‌رو هستند؛ یکی از معضلات جدی به شمار می‌آید. بنابراین ارزیابی آسیب‌پذیری آب زیرزمینی به منظور شناسایی مناطق دارای پتانسیل بالای آلودگی برای مدیریت منابع آب زیرزمینی ضروری است. در این پژوهش آسیب‌پذیری آبخوان دشت اردبیل در برابر آلودگی با استفاده از روش دراستیک مورد بررسی قرار گرفت. در مدل دراستیک هفت متغیر مؤثر در آسیب‌پذیری که شامل ژرفای آب زیرزمینی، تغذیه خالص، محیط آبخوان، محیط خاک، توپوگرافی، محیط غیر اشاعر و هدایت هیدرولیکی است؛ به صورت هفت لایه رستری تهیه شد و پس از رتبه‌دهی و وزن دهی ساختاری دراستیک میان ۸۲ تا ۱۵۱ به دست آمد. اما از آنجایی که مشکل اصلی این مدل اعمال نظرهای کارشناسی برای مدل‌سازی و وزن دهی متغیرهای به کار رفته در آن است؛ بنابراین هدف اصلی این پژوهش بهبود مدل دراستیک با استفاده از ۵ روش هوش مصنوعی از جمله شبکه عصبی پیشرو، شبکه عصبی برگشتی، فازی ساجنو، فازی مدانی و مدل مرکب است. تا بدين روش بتوان به نتایج دقیق تری از ارزیابی آسیب‌پذیری دست یافت. با توجه به ناهمگنی موجود در دشت اردبیل این دشت به سه بخش خاوری، باختり و جنوبی تقسیم و مدل‌های هوش مصنوعی به طور جداگانه برای هر بخش اجرا شد. به این منظور متغیرهای دراستیک به عنوان ورودی مدل و شاخص دراستیک مدل تعریف شدند و مقادیر نیترات مربوطه به ۲ دسته آموزش و آزمایش تقسیم شد. شاخص دراستیک مربوط به مرحله آموزش مدل، در مرحله آزمایش نتایج مدل‌ها با استفاده از مقادیر نیترات ارزیابی شد. نتایج نشان داد که همه روش‌های هوش مصنوعی توانایی بالای در بهبود مدل دراستیک دارند؛ اما در این میان، مدل هوش مصنوعی مرکب (SCMAI) نتایج بهتری را دربر داشت. بر پایه این مدل، بخش‌های باختり و شمالی دشت پتانسیل آلودگی بالای دارد و باید محافظت پیشتری از این مناطق صورت گیرد.

**کلیدواژه‌ها:** آسیب‌پذیری، دشت اردبیل، دراستیک، هوش مصنوعی، مدل SCMAI

**نویسنده مسئول:** عطاالله ندیری

E-mail: nadiri@tabrizu.ac.ir

## ۱- پیش‌نوشتار

زیرزمینی بخشی از مدیریت آب‌های زیرزمینی در بسیاری از مناطق جهان به شمار می‌رود.

تاکنون روش‌های مختلفی برای ارزیابی آسیب‌پذیری ارائه و در همه روش‌ها آسیب‌پذیری آبخوان بر پایه انتقال آلودگی از سطح زمین به لایه آبدار برآورد شده است. روش دراستیک یکی از متدالوی ترین روش‌های مورد استفاده برای ارزیابی آسیب‌پذیری آب زیرزمینی است (Aller et al., 1987). مدل دراستیک بر پایه هفت متغیر آب زمین شناختی مؤثر در آسیب‌پذیری از جمله ژرفای آب زیرزمینی، تغذیه خالص، محیط آبخوان، محیط خاک، توپوگرافی، تأثیر ناحیه غیراشاعر و هدایت هیدرولیکی است. از مزایای مدل دراستیک می‌توان به هزینه و تعداد داده‌های کم اشاره کرد. اما ضعف اصلی این مدل، اعمال نظرهای کارشناسی برای وزن و رتبه‌دهی متغیرهای به کار رفته در آن است.

به منظور بهبود مدل دراستیک تاکنون روش‌های مختلفی ارائه شده است؛ از جمله Panagopoulos et al. (2005) به منظور بهینه‌سازی مدل دراستیک از روش‌های آماری استفاده کرده‌اند. در برخی از مطالعات نیز از متغیرهای اضافی مانند کاربری زمین‌ها و نوع و شدت آبیاری برای بهبود مدل دراستیک استفاده شده است (Secunda et al., 1998; McLay et al., 2001). آسیب‌پذیری آب زیرزمینی برای زیروحش انتخاب شده از حوضه رودخانه Illinois در شمال باختی آرکانزاس، از روش نزوافزاری استفاده و حساسیت مدل نزوافزاری را با تلفیق روش‌های GIS و نزوافزاری بررسی کرد. همچنین در پژوهش دیگری، با استفاده از روش‌های منطق فازی آسیب‌پذیری آبخوان نسبت به آلودگی در مقیاس منطقه‌ای پیش‌بینی شد (Dixon et al., 2002). نیکنام و همکاران (۱۳۸۶)

در سال‌های اخیر افزایش مصرف آب و پرهزینه بودن گسترش منابع آب سطحی، منجر به فشارهای مضاعفی به منابع آب زیرزمینی شده است. در شرایط کنونی بخش قابل ملاحظه‌ای از مصارف آب بهوژه در بخش آشامیدنی، توسط منابع آب زیرزمینی تأمین می‌شود که بیشتر از آبخوان‌های آزاد است. این در حالی است که این آبخوان‌ها آسیب‌پذیری و حساسیت بیشتری در برابر آلاینده‌های ناشی از فعالیت‌های کشاورزی، صنعتی و شهری دارند. در بسیاری از موارد آلودگی آب زیرزمینی پس از آلوده شدن چاه‌های آب آشامیدنی شناسایی می‌شود. در صورت آلوده شدن آب زیرزمینی، رفع آلودگی بسیار پرهزینه و فرایندی طولانی است. بنابراین با توجه به بالا بودن هزینه‌های پالایش آب‌های آلوده و محدودیت‌های موجود بهترین راه حل، جلوگیری از آلودگی منابع آب زیرزمینی است که این امر با شناسایی مناطق آسیب‌پذیر آبخوان مقدور است.

مفهوم آسیب‌پذیری برای اولین بار در اوخر سال ۱۹۶۰ میلادی در فرانسه برای آگاهی‌بخشی در مورد آلودگی آب زیرزمینی ارائه شده است (Vrba and Zoporozec, 1994). آسیب‌پذیری را می‌توان به عنوان امکان نفوذ و پخش آلاینده‌ها از سطح زمین به سامانه آب زیرزمینی تعريف کرد. آسیب‌پذیری آبخوان، نیروی آن را برای نفوذ و پخش آلاینده‌ها از سطح زمین به سامانه آب زیرزمینی نشان می‌دهد؛ به گونه‌ای که آلودگی تولید شده در سطح زمین بتواند به آب زیرزمینی برسد و در آن پراکنده شود (Babiker et al., 2005). آسیب‌پذیری نوعی ویژگی نسبی بدون بعد و غیر قابل اندازه‌گیری است و به ویژگی‌های آبخوان، ساختار نمونه شناختی و آب‌زمین شناختی (هیدرولوژیک) بستگی دارد (Antonakos and Lambrakis, 2007).

در رابطه بالا،  $DI$  شاخص آسیب‌پذیری دراستیک و حروف بزرگ نشان‌دهنده متغیرهای هفت گانه و ۲ نرخ ارزش (رتبه) و  $w$  وزنی است که به هر متغیر تخصیص داده می‌شود.

### ۳-۲. شبکه‌های عصبی مصنوعی (ANN)

شبکه‌های عصبی مصنوعی یک سامانه پردازش اطلاعات توده‌ای هستند که به صورت موازی قرار گرفته‌اند و ویژگی‌های عملکردی خاص شبکه‌های عصبی زیستی مغز انسان دارند (Haykin, 1994). شبکه‌های عصبی مصنوعی بر پایه قوانین زیر گسترش یافته‌اند:

- (۱) پردازش اطلاعات در واحدهای منفردی به نام گره صورت می‌گیرد؛
- (۲) سیگنال‌های میان گره‌ها از راه خطوط ارتباطی انتقال می‌یابند؛<sup>(۳)</sup> به هر خط ارتباطی یک وزنی نسبت داده شده که نشان‌دهنده قدرت ارتباطی آن خط است؛
- (۴) هر گره به طور عموم دارای توابع فعال‌سازی و تبدیل گر به منظور تعیین سیگنال‌های خروجی از داده‌های ورودی شبکه است (نیدری و همکاران، ۱۳۹۲).

یک شبکه عصبی به وسیله الگوی ارتباطی میان گره‌ها، روش تعیین وزن‌های ارتباطی و تابع فعال‌سازی مشخص می‌شود (Fausett, 1994). یک شبکه عصبی به طور عموم شامل شماری از گره‌های است که با آرایش خاصی قرار گرفته‌اند. یکی از روش‌های رده‌بندی شبکه‌های عصبی بر پایه شمار لایه‌های است که به سه نوع تک‌لایه‌ای، دولایه‌ای و چندلایه‌ای تقسیم می‌شوند. شبکه‌های عصبی مصنوعی همچنین بر پایه سوی جریان و پردازش اطلاعات به دو دسته، شبکه‌های پیشرو و شبکه‌های برگشتی تقسیم می‌شوند. در شبکه‌های عصبی پیشرو گره‌های پردازش گر در لایه‌های مخفی قرار دارند و هر شبکه می‌تواند چندین لایه مخفی و هر لایه مخفی می‌تواند یک یا بیش از یک گره داشته باشد. در شبکه‌های پیشرو اطلاعات از ورودی به سوی خروجی حرکت می‌کند. گره‌های یک لایه با گره‌های لایه دیگر در ارتباط هستند؛ اما با گره‌های موجود در همان لایه ارتباط ندارند. بنابراین خروجی هر گره در یک لایه تنها به ورودی‌های دریافتی از لایه‌های پیش و وزن‌های مربوطه وابسته است. در شبکه‌های عصبی برگشتی اطلاعات میان گره‌ها در دو سو، از ورودی به سوی خروجی و وارون جریان می‌یابند. این نوع شبکه از خروجی‌ها به عنوان ورودی‌های جدید استفاده می‌کند؛ بنابراین به داده‌ها اجازه برگشت به ورودی را می‌دهد (ASCE, 2000).

ساختار عادی یک شبکه عصبی مصنوعی معمولاً از لایه ورودی، لایه‌های میانی (مخفي) و لایه خروجی تشکیل شده است. آخرین لایه یا لایه انتقال‌دهنده و وسیله‌ای برای تهیه کردن داده‌هاست. آخرین لایه یا لایه خروجی شامل مقادیر پیش‌بینی شده به وسیله شبکه است و خروجی مدل را معرفی می‌کند. لایه‌های میانی یا مخفی که از گره‌های پردازشگر تشکیل شده‌اند، محل پردازش داده‌ها هستند. شمار لایه‌های مخفی و شمار گره‌ها در هر لایه مخفی معمولاً با استفاده از روش آزمون و خط تعیین می‌شود. گره‌های لایه‌های مجاور به طور کامل با هم در ارتباط هستند (نیدری، ۱۳۸۶). شکل ۲ ساختار یک شبکه عصبی مصنوعی را نشان می‌دهد که از ۷ گره در لایه ورودی، ۲ گره در لایه میانی و ۱ گره در لایه خروجی تشکیل شده است.

### ۳-۳. منطق فازی (FL)

ثوری فازی برای اولین بار توسط (Zadeh, 1965) در مقاله‌ای با عنوان مجموعه‌های فازی ارائه شد. ثوری فازی، شامل همه ثوری‌هایی است که از مفاهیم بنایین مجموعه‌های فازی یا توابع عضویت استفاده می‌کند. منطق فازی به عنوان جایگزینی برای توضیح عدم قطعیت مورد استفاده قرار گرفته است. مجموعه‌های فازی مربزه‌ای مبهم و تاریخی میان مربزه‌های تعریف شده دارند؛ که برای برابری با ماهیت عدم قطعیت در سامانه و خطاهای انسانی مناسب هستند (Pulido Calvo and Gutiérrez-Estrada, 2009; Tayfur et al., 2014).

در همه روش‌های ارزیابی آسیب‌پذیری، عدم قطعیت امری ذاتی است که این عدم قطعیت‌ها به علت خطاهای اطلاعاتی و متغیر بودن متغیرهای آب‌زمین شناختی نسبت به

آسیب‌پذیری سفره آب زیرزمینی تهران-کرج را با استفاده از روش‌های دراستیک و منطق فازی بررسی کردند. مطالعه‌ای نیز در زمینه بهینه‌سازی مدل دراستیک توسط (Fijani et al., 2013) انجام شده است که به منظور ارزیابی آسیب‌پذیری آب زیرزمینی آبخوان دشت مراغه بجهة بهینه‌سازی مدل دراستیک را با استفاده از هوش مصنوعی مرکب نظارت شده انجام داده‌اند.

در این پژوهش نیز برای بهبود مدل دراستیک از ترکیب جدیدی از مدل‌های هوش مصنوعی استفاده شده است که با پژوهش‌های پیشنهادی متفاوت بوده و تا حال به کار گرفته نشده است. منطقه مطالعاتی در این پژوهش، دشت اردبیل است که از مناطق غعال کشاورزی، دامداری و صنعت است که در آن از کودهای کشاورزی زیاد استفاده می‌شود. این مواد به همراه پساب‌ها و فاضلاب‌های حاصل از منطقه می‌توانند آب‌های زیرزمینی را آلوده سازند؛ بنابراین ارزیابی آسیب‌پذیری آبخوان این دشت ضرورت دارد.

## ۲- منطقه مورد مطالعه

محدوده مطالعاتی مورد نظر آبخوان دشت اردبیل است. همان‌گونه که در شکل ۱ دیده می‌شود؛ دشت اردبیل در شمال باخته ایران و در استان اردبیل قرار دارد. این دشت توسط ارتفاعات که بخشی از رشته کوه البرز هستند، دربر گرفته شده است و گسترشی در حدود ۹۹۰ کیلومتر مربع دارد. تقریباً ۵۶۴۰۰۰ نفر در دشت اردبیل زندگی می‌کنند که در دو شهر و ۸۸ روستا ساکن هستند. حوضه آبریز دشت اردبیل در محدوده طول حاوری  $۴۸^{\circ} ۴۰' - ۴۸^{\circ} ۴۰' \text{ تا } ۳۸^{\circ} ۳۰' - ۳۸^{\circ} ۳۰'$  قرار گرفته است. دشت اردبیل دشتی به نسبت هموار است که از پرآمون توسط کوه‌های بزقوش، تالش و سبلان دربر گرفته شده است و تنها خروجی منابع آبی دشت در منتهی‌الیه شمال باخته آن قرار دارد. بیشترین ارتفاع مربوط به قله سبلان با ارتفاع  $۴۸۱۰$  متر از سطح دریا و کمترین ارتفاع مربوط به ناحیه خروجی در شمال باخته دشت با ارتفاع  $۱۱۷۰$  متر از سطح دریاست. این دشت دارای سه رودخانه اصلی قره‌سو، بالخلوچای و قوری‌چای است. نوران‌چای، هیرچای و شهریورچای نیز از دیگر رودهای این دشت هستند. بر پایه داده‌های حاصل از استگاه سینوپتیک اردبیل در بازه زمانی  $۱۳۸۵-۱۳۸۵$ ، بیشترین بارش در محدوده مطالعاتی در اردبیل شاهد می‌باشد و کمترین آن مربوط به مرداد ماه و متوسط بارش سالانه در منطقه  $۳۰/۳/۱$  میلی‌متر است. بیشترین و کمترین دما به ترتیب  $۳۹/۸$  و  $-۳۳/۸$  درجه سانتی‌گراد و میانگین دمای سالانه  $۹/۰$  درجه سانتی‌گراد بوده است (کرد، ۱۳۹۳).

## ۳- روش‌شناسی

### ۳-۱. مدل دراستیک

مدل دراستیک یک مدل کمی است که برای برآورد پتانسیل آبودگی سامانه آب زیرزمینی دریک مقیاس ناحیه‌ای طراحی شده است. بر پایه آن متغیرهای مختلف آب‌زمین شناختی تأثیرگذار در انتقال آبودگی با یک ضریب وزنی و یک ضریب ارزش با یکدیگر جمع می‌شوند و در پایان نشخه آسیب‌پذیری ارائه می‌شود (اصغری‌مقدم و همکاران، ۱۳۸۸). این مدل بر پایه  $7$  متغیر آب‌زمین شناختی است که شامل ۷ رفای آب زیرزمینی (D)، تغذیه (R)، محیط آبخوان (A)، محیط خاک (S)، توبوگرافی (T)، تأثیر ناحیه غیر اشبع (I) و ضریب هدایت هیدرولیکی (C) است. اطلاعات حاصل از این متغیرها به صورت تلفیقی تجزیه و تحلیل و سپس توسط سامانه اطلاعات جغرافیایی (GIS) پردازش می‌شوند. در روش دراستیک به هر متغیر یک رتبه و یک وزن ( $az\ 1\ تا\ 5$ ) بر حسب اهمیت متغیر اختصاص داده می‌شود. رتبه متغیرهای دراستیک میان  $1\ تا\ 10$  است؛ به گونه‌ای که  $1$  به معنای کمترین و  $10$  بیشترین خطر برای آبودگی آب زیرزمینی در نظر گرفته می‌شود (Panagopoulos et al., 2005). از این رو شاخص دراستیک بر پایه وزن‌دهی به مجموع  $7$  متغیر با فرمول  $1$  به دست می‌آید (Aller et al., 1987).

$$DI = D_r D_w + R_r R_w + A_r A_w + S_r S_w + T_r T_w + I_r I_w + C_r C_w \quad (1)$$

توابع فعال‌سازی برای  $f_1$  از نوع سیگموید تانژانتی (tansig) و برای  $f_2$  از نوع خطی (purelin) هستند؛  $O_k$  یا  $Vul_{SCMAI}$  خروجی مدل SCMAI است (Fijani et al., 2013). در مرحله آموزش شبکه عصبی (ANN)، الگوریتم لونبرگ- مارکوارت (LM) به عنوان یک الگوریتم یادگیری برای برآورد وزن‌ها ( $W_{kj}$  و  $W_{ki}$ ) و بایاس‌ها انتخاب شده است (ASCE, 2000).

### ۳-۵. معیارهای ارزیابی دقت مدل‌های هوش مصنوعی

در این پژوهش به منظور ارزیابی کارایی هر شبکه و توانایی آن برای پیش‌بینی دقیق از ۵ معیار جذر میانگین مربع نسبی خطا (RMSE)، جذر میانگین مربع خطا (RMSE) میانگین خطای مطلق (MAE)، ضریب تبیین ( $R^2$ ) و ضریب همبستگی ( $r$ ) استفاده شده است. این ۵ معیار به صورت زیر به دست می‌آیند:

$$RMSE = \sqrt{\frac{1}{n} \sum_{i=1}^n ((Vul_i - \widehat{Vul}_i)^2)} \quad (5)$$

$$RMSD = \sqrt{\frac{\sum_{i=1}^n (Vul_i - \widehat{Vul}_i)^2}{n}} \quad (6)$$

$$MAE = \frac{\sum_{i=1}^n |(Vul_i - \widehat{Vul}_i)|}{n} \quad (7)$$

$$R^2 = 1 - \frac{\sum_{i=1}^n (Vul_i - \widehat{Vul}_i)^2}{\sum_{i=1}^n (Vul_i - \bar{Vul})^2} \quad (8)$$

$$r = \frac{\sum_{i=1}^n (Vul_i - \bar{Vul})(N_i - \bar{N})}{\sqrt{\sum_{i=1}^n (Vul_i - \bar{Vul})^2} \sqrt{\sum_{i=1}^n (N_i - \bar{N})^2}} \quad (9)$$

روابط بالا، نتایج آسیب‌پذیری مشاهداتی،  $\widehat{Vul}_i$  نتایج آسیب‌پذیری مطالعه،  $Vul_i$  میانگین مشاهداتی،  $N_i$  تعداد کل مشاهداتی، RRMSE، RMSE،  $R^2$  و  $r$  را میزان خطای میان مقادیر مشاهداتی و محاسباتی را نشان می‌دهد.  $MAE$  و  $RMSD$  میزان میزان بازده شبکه هستند. هر چقدر  $MAE$ ،  $RMSD$  و  $RRMSE$  به صفر و ۰ و ۱ به میل کنند بهترین جواب برای مدل ایجاد خواهد شد.

## ۴- بحث و نتایج

در این مطالعه به منظور درستی‌سنجدی و مقایسه پیش‌بینی مدل‌های مختلف از غلطات نیترات ۶۵ نمونه در منطقه مورد مطالعه استفاده شد که توسط کرد در سال ۱۳۹۰ اندازه‌گیری شده گرفته بود (کرد، ۱۳۹۳). شکل ۴ توزیع نیترات را در منطقه نشان می‌دهد که با استفاده از روش IDW پهنگ‌بندی شده است که بیشترین غلطات نیترات در آب زیرزمینی را در بخش باختری و بخشی از شمال داشت و کمترین مقدار را در جنوب داشت نیترات می‌دهد. دشت اردبیل ناهمگنی‌های فراوانی از دید زمین‌شناسی و آب‌زمین‌شناختی دارد؛

از جمله اینکه رسوبات محیط غیرابشاع بخش باختری دشت بیشتر از رسوبات آبرفتی دانه‌درشت و بخش‌های خاوری و جنوبی از رسوبات دانه‌ریز تشکیل شده‌اند. از دید ژرفای آب زیرزمینی بخش جنوبی دشت دارای ژرفای زیاد، بخش باختری دارای کمترین ژرفای و بخش خاوری دارای ژرفای میانگین است و همچنین بیشترین تراوایی و میزان تغذیه مربوط به بخش باختری دشت و کمترین آن مربوط به بخش جنوبی است. بنابراین برای افزایش دقت مدل‌ها، منطقه مطالعاتی با در نظر گرفتن این ویژگی‌های آب‌زمین‌شناختی و زمین‌شناسی بیان شده و نیز بر پایه نظر کارشناسی به سه بخش خاوری، باختری، و جنوبی تقسیم شد (شکل ۴) و برای هر بخش، مدل‌های هوش مصنوعی به طور جداگانه و با ویژگی‌های متفاوت اجرا شد.

به منظور اجرای مدل دراستیک، نقشه‌های مربوط به هر کدام از متغیرهای مدل دراستیک در محیط نرم‌افزار Arc GIS تهیه شد و سپس رتبه‌دهی و وزن‌دهی و

زمان و مکان است (به نقل از ناصری و صارمی نژاد، ۱۳۹۰). بنابراین ارائه مدلی که توانایی پاسخگویی در شرایط عدم قطعیت را داشته باشد، یک ابزار مدیریتی مناسب برای ارزیابی آسیب‌پذیری آب زیرزمینی است. در ارزیابی آسیب‌پذیری دسته‌بندی اطلاعات و تعیین مزیان دسته‌ها اهمیت خاصی دارد؛ بنابراین منطقه فازی روش مناسبی برای ارزیابی آب زیرزمینی است (Dixon et al., 2002).

هر مجموعه فازی به وسیله یکتابع عضویت نشان داده می‌شود. تابع عضویت اشکال مختلف مانند گوسی، مثلثی، ذوزنقه‌ای، سیگموید و غیره دارد. هر سامانه فازی شامل سه بخش اصلی است: ۱) فازی سازی داده‌ها؛ ۲) سامانه استنتاج فازی (قوانين فازی)؛ ۳) غیرفازی سازی داده‌ها. در فازی سازی، ورودی‌ها از راه تابع عضویت مربوط، به مجموعه فازی مناسب تغییر می‌یابند و نتایج فازی سازی شده با سامانه استنتاج فازی به دست می‌آید. در مرحله آخر از اجتماع خروجی‌ها و غیرفازی سازی آنها نتایج پایانی به دست می‌آید. بر پایه نوع تابع عضویت خروجی، به دو نوع مدانی و ساجنو تقسیم می‌شود. در روش مدانی تابع عضویت خروجی، مجموعه‌های فازی هستند؛ اما در مدل ساجنو خروجی به صورت ثابت یا خطی است که توسط روش دسته‌بندی به دست می‌آید (Nadiri et al., 2013).

### ۴-۳. مدل هوش مصنوعی مركب (SCMAI)

یک مدل هوش مصنوعی مركب از گروهی از مدل‌های هوش مصنوعی تشکیل شده که خروجی‌های مدل‌های منفرد را ترکیب می‌کند و با توجه به اینکه هر یک از مدل‌های هوش مصنوعی مزایای ویژه‌ای دارد؛ بنابراین مدل هوش مصنوعی مركب از مزایای همه این مدل‌ها استفاده می‌کند و نتایج بهتری نسبت به هر یک از مدل‌های منفرد ارائه می‌دهد (نديري، ۱۳۹۲). از جمله روش‌های ترکیب مدل‌ها می‌توان به روش میانگین‌گیری ساده و میانگین‌گیری وزنی اشاره کرد (Chen and Lin, 2006). در این مطالعه، یک مدل هوش مصنوعی مركب ناظرت شده (SCMAI) برای ارزیابی آسیب‌پذیری ارائه شده است؛ در این روش یک مدل هوش مصنوعی (AI) به عنوان یک ترکیب کننده ناظرت شده غیرخطی به کار گرفته شده که جایگزین روش میانگین‌گیری ساده و وزنی است (Nadiri et al., 2013).

در این پژوهش برای استفاده همزمان از کارایی مدل‌های شبکه عصبی پیشرو، شبکه عصبی برگشتی، فازی ساجنو و فازی مدانی از مدل هوش مصنوعی مركب ناظرت شده است (SCMAI). آسیب‌پذیری به دست آمده به دست آمده به وسیله این ۴ مدل منفرد هوش مصنوعی ورودی‌های مدل SCMAI را تشکیل می‌دهند. شکل ۳ تصویر نمایند از مدل هوش مصنوعی ارائه شده در این پژوهش را نشان می‌دهد. مدل هوش مصنوعی مركب شامل ۴ مدل هوش مصنوعی است که در طی دو مرحله اصلی ایجاد می‌شود. در مرحله اول، آسیب‌پذیری آب زیرزمینی از داده‌های آب‌زمین‌شناختی (متغیرهای دراستیک) با استفاده از مدل‌های هوش مصنوعی شامل شبکه عصبی پیشرو (FFN)، شبکه عصبی برگشتی (RNN)، فازی ساجنو (SFL) و فازی مدانی (MFL) پیش‌بینی شده است و در مرحله دوم، از یک شبکه عصبی مصنوعی به عنوان یک ترکیب کننده غیرخطی ناظرت شده برای ترکیب مدل‌ها استفاده می‌شود. عبارت ریاضی مدل SCMAI به صورت زیر است:

$$vul_i = AI_i(D, R, A, S, T, I, C) \quad (2)$$

$$O_j = f_1(b_j + \sum_i W_{ji} Vul_i) \quad (3)$$

$$O_k = Vul_{SCMAI} = f_2(b_k + \sum_j W_{kj} O_j) \quad (4)$$

$Vul_i$  خروجی هر یک از مدل‌های هوش مصنوعی (شبکه عصبی پیشرو، شبکه عصبی برگشتی، فازی ساجنو و فازی مدانی) است که در مدل مرکب به عنوان ورودی استفاده شده‌اند.  $f_1$  و  $f_2$  توابع فعال‌سازی به ترتیب برای لایه پنهان و لایه خروجی‌های  $O_j$ ، زمین خروجی گره‌ها در لایه پنهان،  $W_{kj}$  و  $b_k$  بایاس‌ها یکی که قدرت ارتباطی میان دو لایه را کنترل می‌کنند و  $b_k$  بایاس‌ها هستند که به ترتیب برای تنظیم مقدار میانگین در لایه پنهان و لایه خروجی استفاده شده‌اند. انواع

در صد از منطقه مورد مطالعه را پوشش می‌دهد. این رده بخش‌های در نواحی شمالی و باختری را به خود اختصاص داده است. خاور و بخشی از جنوب دشت در محدوده آسیب‌پذیری کم قرار دارد که  $44/36$  درصد از منطقه را شامل می‌شود.

#### ۴-۱. نتایج حاصل از مدل سازی توسط شبکه‌های عصبی مصنوعی

در این پژوهه برای اجرای مدل‌های هوش مصنوعی به منظور ارزیابی آسیب‌پذیری به علت گسترش زیاد دشت و همچنین ناهمنگی موجود، دشت مورد مطالعه به سه بخش (خاوری، باختری و جنوبی) تقسیم (شکل ۴) و برای هر بخش به طور جداگانه مدل‌های هوش مصنوعی اجرا شد. در همه این مدل‌های هوش مصنوعی  $80$  درصد از داده‌ها برای آموزش و  $20$  درصد برای مرحله آزمایش به کار برده شد. در روش‌های شبکه عصبی پیشرو و برگشتی،  $7$  متغیر مدل دراستیک به عنوان ورودی‌های مدل و شاخص دراستیک تصحیح شده با نیترات به عنوان خروجی مدل به کار گرفته شد. برای اجرای مدل‌های هوش مصنوعی ابتدا در مرحله آموزش طبق رابطه  $10$  مقادیر آسیب‌پذیری (شاخص دراستیک) تصحیح و سپس در مرحله آزمایش به استفاده از مقادیر نیترات نتایج مدل‌ها ارزیابی شد.

$$V_{ul_{\max}} = \frac{V_{ul_{\max}}}{(NO_3)_{\max}} \times (NO_3)_i \quad (10)$$

در رابطه بالا،  $V_{ul_{\max}}$  بیشترین مقدار شاخص دراستیک،  $(NO_3)_{\max}$  بیشترین غلظت نیترات و  $(NO_3)$  غلظت نیترات را نشان می‌دهد.

برای بخش باختری به منظور اجرای شبکه عصبی پیشرو از شبکه سه لایه با الگوریتم لنبرگ-مارکوارت (LM) استفاده شد. بر پایه آزمون و خطاب تعداد گره‌ها در لایه میانی  $2$  و گره خروجی هم برابر  $1$  به دست آمد که منطبق بر تعداد متغیر خروجی است. تابع تبدیل گر در لایه دوم از نوع سیگموید تائزانتی (Tansig) و در لایه سوم خطی (Purlin) است. پس از  $100$  دوره آموزش مقادیر ضربت تعیینی ( $R^2$ ) و RMSE برای مرحله آموزش به ترتیب  $0/85$  و  $40/2$  حاصل شد. پس از آموزش، مدل برای مرحله آزمایش اجرا شد و ضربت تعیینی آسیب‌پذیری پیش‌بینی شده توسط مدل با مقادیر نیترات برابر  $0/83$  به دست آمد. در شبکه عصبی برگشتی با  $122$  دوره آموزش مقادیر  $R^2$  و RMSE برای مرحله آموزش به ترتیب  $0/97$  و  $1/76$  و مقدار  $R^2$  برای مرحله آزمایش  $0/62$  به دست آمد.

برای بخش خاوری و جنوبی نیز بر پایه روش آزمون و خطاب، مدل شبکه عصبی پیشرو با یک شبکه  $4$  لایه انتخاب شد؛ به گونه‌ای که تعداد گره‌ها در لایه دوم و سوم و چهارم به ترتیب  $2$  و  $2$  و  $1$  بود. تابع تبدیل گر در بخش خاوری دوره‌های آموزش  $56/6$  و مقادیر  $R^2$  و در لایه چهارم خطی است برای بخش خاوری دوره‌های آموزش  $42/4$  و برای بخش جنوبی با  $42/4$  دوره آموزش مقادیر  $R^2$  و RMSE به ترتیب  $0/7$  و  $7/64$  به دست آمد. شبکه عصبی برگشتی برای بخش خاوری و جنوبی به ترتیب با دوره‌های آموزش  $11$  و  $39/9$  اجرا شد و مقادیر  $R^2$  و RMSE مرحله آموزش برای بخش خاوری  $0/81$  و  $9/93$  و برای بخش جنوبی  $0/95$  و  $3/62$  به دست آمد. بر پایه نتایج حاصل از این دو مدل که در جدول  $2$  ارائه شده است، برای بخش باختری شبکه عصبی پیشرو و برای بخش‌های خاوری و جنوبی شبکه عصبی برگشتی نتایج بهتری ارائه دادند.

#### ۴-۲. نتایج حاصل از مدل سازی توسط منطق فازی

در این پژوهش از دو روش منطق فازی (ساجنو و مدانی) به منظور تعیین میزان آسیب‌پذیری استفاده شده است. در این روش ورودی‌ها و خروجی‌ها همان ورودی‌ها و خروجی‌های مدل شبکه عصبی مصنوعی هستند که در بخش پیشین اشاره شد. اولین گام در روش‌های فازی، تعیین تابع عضویت و دسته‌بندی داده‌هاست. به منظور دسته‌بندی داده‌ها و تعیین تابع عضویت در مدل ساجنو از روش کاهشی (Subtractive) و در مدل مدانی از روش FCM استفاده شد. متغیر اصلی در مدل ساجنو برای تعیین دسته‌ها و قوانین اگر-آنگاه، شاعع دسته‌بندی و مقدار آن میان صفر و یک است (Hongxing et al., 2000). برای بخش خاوری دشت مدل ساجنو

در پایان تلفیق لایه‌های مختلف اطلاعاتی انجام گرفت؛ که چگونگی تهیه لایه‌های اطلاعاتی به طور مختصر در زیر آورده شده است. فاصله میان سطح زمین و سطح آب زیرزمینی، ژرفای برخورد را مشخص می‌کند. این متغیر تعیین کننده ژرفایی است که آلوهه کننده باید طی کند تا به سطح ایستابی برسد. هر چه ژرفای سطح ایستابی بیشتر باشد، زمان بیشتری طول می‌کشد تا این مواد به آبخوان برسد و امکان پخش شدن، رقیق شدن و جذب مواد آلاینده در خاک وجود خواهد داشت. بنابراین برای ژرفاهای کمتر، بیشترین رتبه  $(10)$  و برای ژرفای‌های بیشتر، کمترین رتبه  $(1)$  اختصاص داده می‌شود. برای تهیه نقشه ژرفای آب زیرزمینی، ابتدا موقعیت و ژرفای سطح ایستابی چاه‌های موجود در منطقه به محیط اکسل وارد و سپس به فرمت قابل قبول برای نرمافزار ARC GIS تبدیل شد. سپس با روش کریجینگ معمولی (Ordinary Kriging) درون‌یابی انجام گرفت و به منظور تلفیق با لایه‌های دیگر به حالت رسترن تبدیل شد و در پایان رتبه‌دهی انجام و لایه ژرفای آب زیرزمینی تهیه شد.

تغذیه خالص مقدار آبی است که از سطح زمین نفوذ کرده و به سطح ایستابی می‌رسد. تغذیه آب موجب می‌شود تا آلوهه کننده به صورت عمودی انتقال بابد، به سطح ایستابی برسد و به صورت افقی در آبخوان حرکت کند. برای ایجاد این لایه از بیلان آب زیرزمینی استفاده شد و میزان تغذیه به دست آمد و پس از درون‌یابی و رتبه‌دهی نقشه تغذیه آب زیرزمینی حاصل شد.

برای تهیه نقشه محیط آبخوان و محیط غیراشباع، با استفاده از لایک چاه‌های منطقه، جنس مواد تشکیل‌دهنده آبخوان (بخش اشباع زیر سطح ایستابی) و محیط غیراشباع (بخش غیر اشباع بالای سطح ایستابی) مشخص شد و به هر کدام از آنها نزدیک اختصاص یافت. سپس با اعمال درون‌یابی، لایه محیط آبخوان و محیط غیراشباع به دست آمد.

محیط خاک تاثیر مهمی در چگونگی تغذیه و در پی آن چگونگی حرکت آلاینده دارد. وجود مواد بافت ریزدانه مانند سیلت و رس، تراوایی خاک را کاهش می‌دهد و بر عکس مواد دانه‌درشت را مانند شن، نفوذپذیری خاک و در نتیجه قابلیت انتقال آلاینده‌ها به سامانه آب زیرزمینی را افزایش می‌دهند. برای تهیه این لایه، نقشه خاک منطقه رقومی شده و نقشه محیط خاک تهیه شد. لایه توپوگرافی به تعییرات شب سطح زمین مربوط می‌شود. به طوری که افزایش شب توپوگرافی موجب کاهش ماندگاری آب روی سطح زمین و کاهش نرخ نفوذ می‌شود. کاهش شب نیز موجب افزایش نرخ نفوذ می‌شود و پتانسیل آلوهه‌گی بیشتری را ایجاد می‌کند. پس ناجه به شب کمتر، رتبه بیشتری در مدل خواهد داشت. برای تهیه این لایه از مدل ارتفاعی رقومی استفاده و سپس نقشه شب از مدل ارتفاعی رقومی استخراج شد و رتبه‌دهی انجام گرفت. لایه هدایت هیدرولیکی مربوط به نفوذپذیری سفره یا توانایی مواد سفره به منظور انتقال آب یا مواد محلول است. بنابراین هر چه هدایت هیدرولیکی آبخوان بیشتر باشد؛ امکان جریان یافتن آلاینده‌ها در آبخوان بیشتر خواهد بود. برای تهیه این لایه ابتدا به منظور محاسبه هدایت هیدرولیکی آبخوان از اطلاعات موجود در منطقه از جمله داده‌های قابلیت انتقال و سبیرای اشباع آبخوان استفاده شد و میزان هدایت هیدرولیکی به دست آمد. بدین ترتیب این اطلاعات به محیط اکسل وارد و به فرمت قابل قبول برای نرمافزار ARC GIS تبدیل شد. سپس با استفاده از روش Krigeing درون‌یابی، رتبه‌دهی هدایت هیدرولیکی تهیه شد. پس از تهیه ویژگی‌های موردنیاز برای ارزیابی آسیب‌پذیری به روش دراستیک به صورت هفت لایه رسترن که در شکل  $5$  نشان داده شده‌اند. وزن دهنی متغیرها مطابق جدول  $1$  و طبق وزن دهنی (Aller et al., 1987) انجام شد و پس از تلفیق آنها بر پایه رابطه  $1$  شاخص آسیب‌پذیری به دست آمد.

شاخص آسیب‌پذیری دراستیک برای دشت اردبیل میان  $82$  تا  $151$  به دست آمد که با توجه به رده‌بندی (Aller et al., 1987) آسیب‌پذیری دشت اردبیل در دو گروه آسیب‌پذیری کم ( $121 - 82$ ) و متوسط ( $82 - 151$ ) قرار می‌گیرد. بیشترین آسیب‌پذیری آب‌های زیرزمینی مربوط به آسیب‌پذیری متوسط است که  $55/64$

#### ۴-۴. مقایسه نتایج حاصل از مدل‌های مختلف برای پیش‌بینی آسیب‌پذیری آب زیرزمینی

نقشه‌های آسیب‌پذیری تهیه شده با استفاده از مدل‌های دراستیک اصلی و اصلاح شده به همراه غلظت نیترات چاه‌های اندازه‌گیری شده در شکل ۶ نشان داده شده است. دایره‌های تو خالی موقعیت و غلظت نیترات را در منطقه نشان می‌شود که برای درستی سنگی استفاده شده است. با انتساب مقادیر یون نیترات روی هر کدام از نقشه‌های آسیب‌پذیری دیده شد که در همه روش‌ها بیشتر نقاط با نیترات بالا در محدوده با خطر آلودگی بیشتر قرار گرفته‌اند؛ اما این انتساب در نقشه آسیب‌پذیری حاصل از مدل SCMAI نسبت به دیگر روش‌ها بیشتر است و هیچ چاه آبی با غلظت نیترات بالا در منطقه با خطر آلودگی کم قرار ندارد؛ بلکه در محدوده با خطر آلودگی بیشتر قرار دارند.

در همین راستا برای بررسی دقیق تر و همچنین مقایسه مدل‌های آسیب‌پذیری باهم، از روش محاسبه شاخص همبستگی (CI) Fijani et al. (2013) میان مدل‌های مختلف آسیب‌پذیری و داده‌های نیترات استفاده شد. برای محاسبه شاخص همبستگی، مقادیر نیترات به چهار گروه نیترات خیلی کم، کم، متوسط و زیاد تقسیم‌بندی می‌شود؛ سپس تعداد چاه‌هایی که مقادیر نیترات آنها دارای ارزش یکسانی با نقشه‌های آسیب‌پذیری است و در یک گروه قرار دارند؛ در ۴ ضرب می‌شوند. آن تعداد از چاه‌هایی که مقادیر نیترات و گروه آسیب‌پذیری آن به مقادیر ۲، ۱ و ۳ اختلاف دارد به ترتیب در ۲، ۳ و ۱ ضرب می‌شوند. سپس مقادیر حاصل با هم جمع بسته می‌شود و شاخص همبستگی (CI) به دست می‌آید؛ که این می‌تواند همبستگی میان مدل‌های آسیب‌پذیری و مقادیر نیترات را نشان دهد. CI بالاتر به معنی همبستگی بیشتر است (Fijani et al., 2013).

انتساب چاه‌های با چهار سطح آلودگی نیترات و دسته‌های آسیب‌پذیری پیش‌بینی شده به وسیله مدل‌های AFL، RNN، SFL، MFL، DRASTIC، FFN و SCMAI در جدول ۳ ارائه شده است. برای نمونه برای به دست آوردن شاخص همبستگی برای پیش‌بینی مدل SFL، چاه در گروه آسیب‌پذیری و سطح آلودگی نیترات یکسانی قرار دارند و ۲۲ چاه دارای اختلاف ۱ و ۴ چاه دارای اختلاف ۲ هستند. ضرایب این گروه از چاه‌ها به ترتیب ۴، ۳ و ۲ است. سپس شاخص همبستگی این چنین به دست می‌آید:

$$CI = \frac{2 \times 4 + 3 \times 3 + 2 \times 2}{22} = 1.86$$

بر پایه نتایج حاصل از مدل‌های آسیب‌پذیری در جدول ۳، مدل‌های هوش مصنوعی نتایج بهتری نسبت به مدل دراستیک ارائه دادند و شاخص همبستگی (CI) بیشتری دارند. از میان مدل‌های هوش مصنوعی، مدل SCMAI بیشترین شاخص همبستگی (CI) و همچنین با توجه به جدول ۲ پایین‌ترین خطأ و بالاترین ضریب همبستگی را دارد. این نتایج نشان داد که مدل SCMAI با ترکیب غیر خطی، کارایی بالایی در برآورد آسیب‌پذیری آبخوان داشت اردبیل دارد. بر پایه مدل SCMAI ۳۴/۴ درصد از منطقه در معرض خطر آلودگی خیلی کم، ۵۵/۷ درصد در معرض خطر آلودگی کم و ۹/۶ درصد در خطر آلودگی متوسط قرار دارد.

#### ۵-نتیجه‌گیری

هدف این پژوهش تعیین آسیب‌پذیری ذاتی آبخوان داشت اردبیل با استفاده از مدل دراستیک و سپس بهینه‌سازی آن با استفاده از مدل هوش مصنوعی بوده است. داشت اردبیل از مناطق فعال کشاورزی است که در آن از کودهای کشاورزی زیاد استفاده می‌شود؛ این مواد به همراه پساب‌ها و فاضلاب‌های حاصل از منطقه، آب‌های زیرزمینی را بیشتر در معرض خطر آلودگی قرار می‌دهد. بنابراین ارزیابی آسیب‌پذیری آبخوان این دشت و تعیین مناطق با پاتسیل بالای آلودگی ضرور است. در همین راستا ۷ تغییر مؤثر در آسیب‌پذیری آب زیرزمینی به صورت ۷ لایه رستری تهیه شد و شاخص آسیب‌پذیری برای منطقه میان ۸۲ تا ۱۵۱ به دست آمد. سپس بهینه‌سازی مدل دراستیک با استفاده از مدل‌های شبکه عصبی پیشرو، شبکه عصبی برگشتی، فازی ساجنو، فازی مدانی و مدل مرکب انجام شد که ترکیب

بر پایه کمترین مقدار RMSE، شعاع دسته‌بندی بهینه ۰/۶ انتخاب و قانون تولید شد. تابع عضویت استفاده شده برای داده‌های ورودی تابع گوسی بود و تابع عضویت خروجی مدل از نوع خطی است که بر پایه داده‌های ورودی ساخته می‌شود. برای بخش باختری و جنوبی با استفاده از تابع عضویت گوسی مقدار شعاع دسته‌بندی ۰/۸ انتخاب و ۳ قانون نیز تولید شد. مقادیر ۲ و RRMSE مربوط به مراحل آموزش و آزمایش در جدول ۲ ارائه شده است.

همان‌طور که پیش‌تر اشاره شد، از روش دسته‌بندی FCM برای تهیه مدل فازی مدانی استفاده شد. در مدل مدانی همانند مدل ساجنو به منظور دسته‌بندی داده‌ها، تعداد دسته‌های بهینه بر پایه کمترین مقدار RMSE انتخاب شد و تابع عضویت ورودی و خروجی از نوع گوسی است. تعداد دسته‌ها و قوانین برای بخش‌های باختری، خاوری و جنوبی به ترتیب ۲۸، ۳۶ و ۳۷ به دست آمد و مقادیر ضریب تعیینی آسیب‌پذیری مشاهداتی و محاسباتی برای مرحله آموزش به ترتیب ۰/۸، ۰/۷۵، ۰/۷۵ و ۰/۶ به دست آمد. نتایج به دست آمده (جدول ۲) نشان داد که از میان دو مدل منطق فازی، برای بخش باختری داشت مدل ساجنو و برای بخش‌های خاوری و جنوبی مدل مدانی نتایج بهتری نشان دادند.

بر پایه نتایج حاصل از ۴ مدل هوش مصنوعی یعنی مدل‌های شبکه عصبی پیشرو، شبکه عصبی برگشتی، فازی ساجنو و فازی مدانی که در جدول ۲ ارائه شده است؛ با وجود اینکه هر ۴ مدل نتایج قابل قبولی را ارائه دادند؛ اما هر یک از مدل‌ها در بخشی از منطقه مطالعاتی نتایج بهتری دارند. مثلاً بر پایه بالاترین ضریب همبستگی میان مقادیر محاسباتی و نیترات برای بخش باختری داشت مدل شبکه عصبی پیشرو با ضریب همبستگی ۰/۹۱ و برای بخش خاوری و جنوبی داشت شبکه عصبی برگشتی با ضریب همبستگی ۰/۸۳ و ۰/۸۵ ارائه شد. با توجه به اینکه هر کدام از این ۴ مدل هوش مصنوعی برتری‌های خاص خود را دارد؛ بنابراین برای استفاده همزمان از مزایای همه آنها از مدل هوش مصنوعی مرکب استفاده شد.

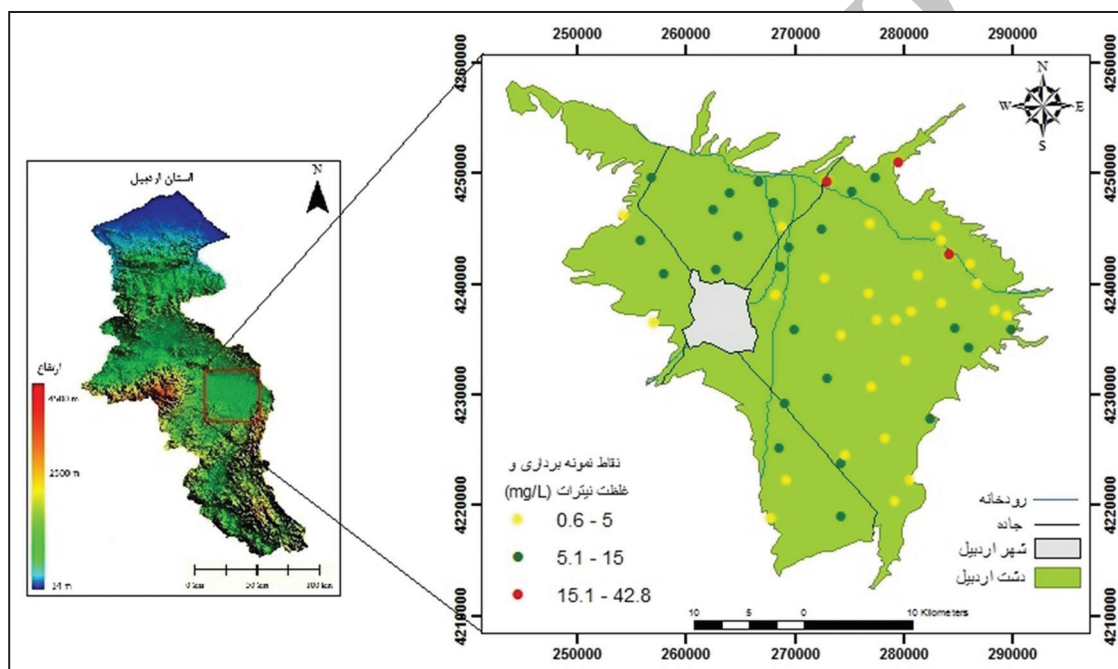
#### ۴-۳. نتایج حاصل از مدل هوش مصنوعی مرکب (SCMAI)

در این پژوهش برای ایجاد مدل مرکب از یک شبکه عصبی سه لایه پرسپترون با الگوریتم LM برای ترکیب مدل‌های شبکه عصبی پیشرو، برگشتی، فازی ساجنو و فازی مدانی استفاده شد.

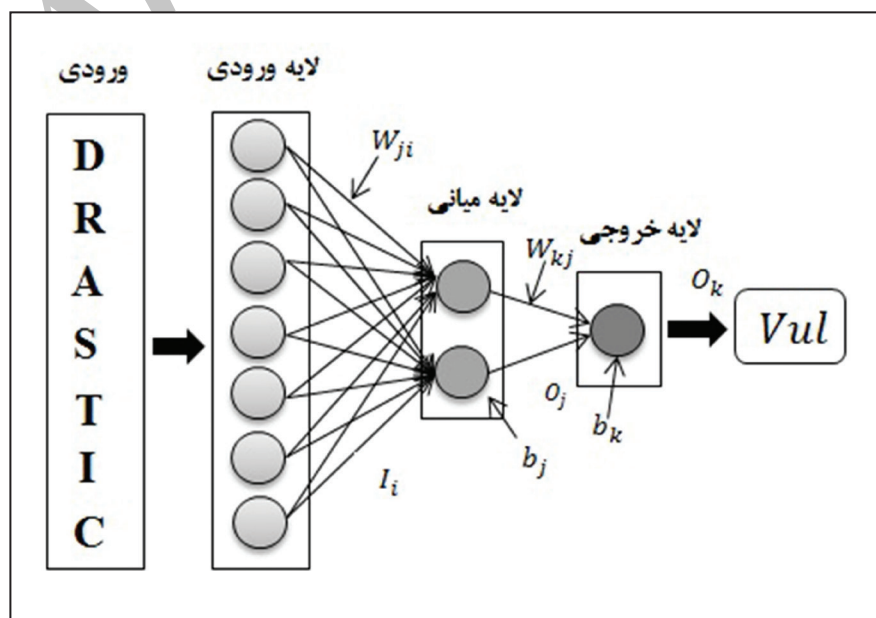
روش SCMAI همان‌گونه که در شکل ۳ نشان داده شده است؛ از یک شبکه عصبی مصنوعی (بخش) برای ترکیب برآورد مقادیر آسیب‌پذیری با استفاده از FFN، RNN و MFL در مرحله آموزش استفاده می‌کند. در این مدل مقادیر آسیب‌پذیری محاسباتی توسط ۴ مدل، ورودی‌های مدل و آسیب‌پذیری مشاهداتی خروجی مدل را تشکیل می‌دهد. برای مدل ANN استفاده شده در مدل SCMAI، ساختار MLP-LM بر پایه معادلات ۲ و ۳ به کار گرفته شده است. برای هر سه بخش از داشت از مدل ANN سه لایه‌ای و با الگوریتم LM برای بهینه‌سازی وزن‌ها و بایاس‌ها استفاده شد. تابع تبدیل گر برای بخش باختری SCMAI اجرا شده برای نوی Tansig و برای لایه داشت، مدل Purelin ANN دارای ۴ گره در لایه ورودی، ۲ گره در لایه میانی (پنهان) و یک گره در لایه خروجی است. پس از ۵۰ دوره آموزش مقدار RMSE ۱/۹۲ به دست آمد. سپس مدل SCMAI توسط داده‌های نیترات درستی سنگی شد و ضریب همبستگی (۰/۹۶ به دست آمد. برای مدل اجرا شده در بخش خاوری و جنوبی داشت، شمار گره‌های لایه میانی به ترتیب ۸ و ۳ است و مقدار RMSE برای بخش خاوری پس از ۱۰۰ دوره آموزش، ۵/۶۴ و برای بخش جنوبی پس از ۵۷ دوره آموزش، ۲/۷۴ به دست آمد. جدول ۲ نتایج حاصل از ۴ مدل منفرد شبکه عصبی و مدل مرکب را نشان می‌دهد. همان‌گونه که ملاحظه می‌شود مدل SCMAI کمترین خطای نسبی (RRMSE) و بیشترین ضریب همبستگی را نسبت به چهار مدل دیگر هوش مصنوعی دارد.

را در ارزیابی آسیب‌پذیری نشان داد. نتایج حاصل از دیگر مطالعات انجام شده در پیش‌بینی و برآورد متغیرهای آب‌زمین‌شناختی و آب‌شناختی نیز نشانگر عملکرد بهتر مدل‌های مرکب غیرخطی نسبت به دیگر مدل‌های هوش مصنوعی بوده است (Nadiri et al., 2013; Nadiri et al., 2014; Asadi et al., 2014; Tayfure et al., 2014). بر پایه مدل مرکب (SCMAI) بخش‌های باختری و شمال دشت اردبیل پتانسیل آکودگی بیشتری نسبت به دیگر مناطق دارد و باید محافظت بیشتری از این مناطق صورت گیرد. مدل مرکب غیرخطی ارائه شده نیز با وجود توانایی بالای خود مانند همه مدل‌ها عدم قطعیت دارد و بنابراین بررسی عدم قطعیت این مدل می‌تواند موضوعی برای پژوهش‌های بعدی باشد. همچنین با توجه به اینکه تقسیم‌بندی دشت در این پژوهش بر پایه نظر کارشناسی انجام گرفته است؛ پیشنهاد می‌شود که در مطالعات بعدی برای تقسیم‌بندی دقیق‌تر از روش‌های دسته‌بندی هوش مصنوعی از جمله SOM و LVQ استفاده شود.

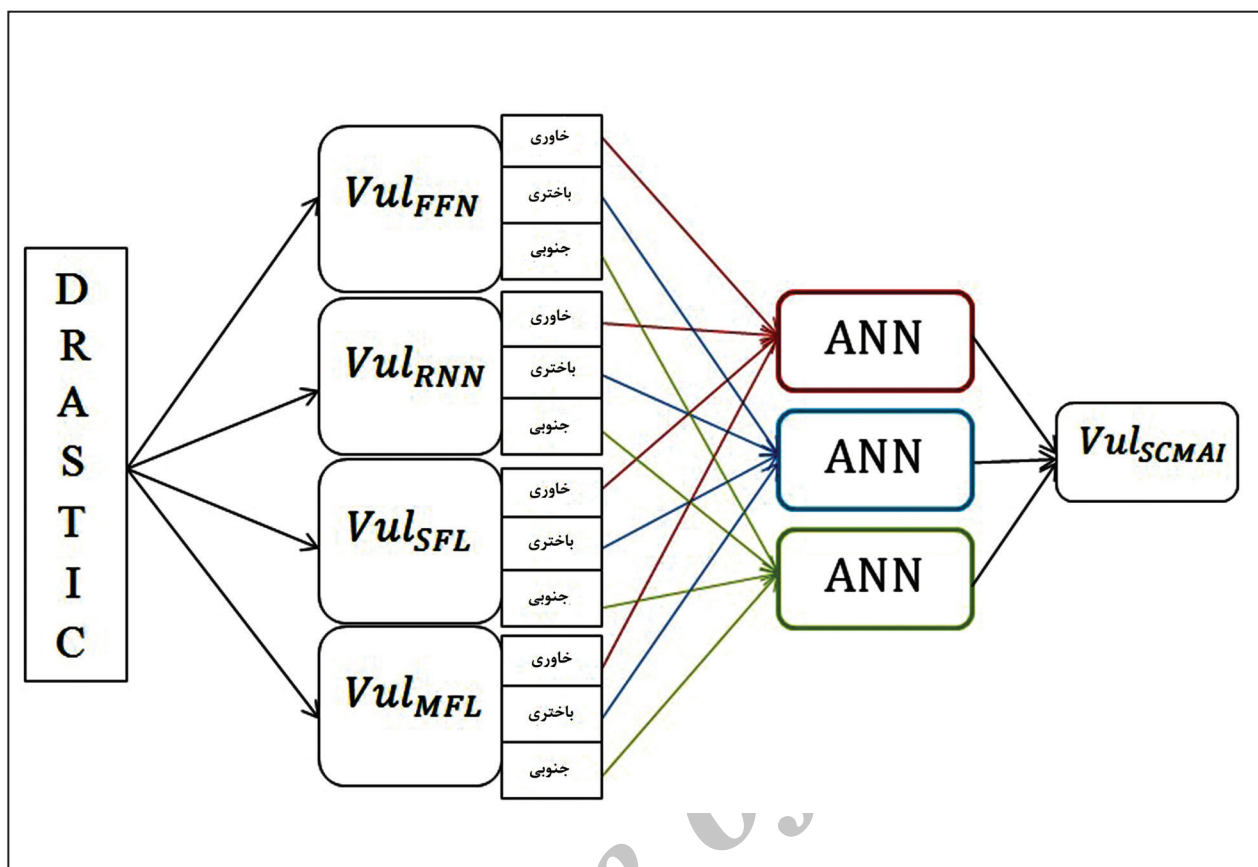
از این چهار مدل است. برای اجرای این مدل‌ها به علت گسترش زیاد دشت و همچنین ناهمگنی موجود، دشت اردبیل به سه بخش تقسیم و برای هر کدام مدل‌های هوش مصنوعی اجرا شد. نتایج نشان داد که هر یک از مدل‌های هوش مصنوعی به تنهایی بهتر از مدل دراستیک آسیب‌پذیری منطقه را پیش‌بینی می‌کند و همیستگی بالایی با مقادیر نیترات دارند. اما با توجه به توانایی ذاتی و متفاوت هر یک از مدل‌های هوش مصنوعی برای به دست آوردن نتایج بهتر این مدل‌ها ترکیب غیرخطی شدند. از میان مدل‌های هوش مصنوعی، مدل مرکب بالاترین شاخص همبستگی (CI) را داشت. این به دلیل آن است که مدل هوش مصنوعی مرکب با ترکیب نتایج حاصل از این مدل‌های منفرد به طور همزمان از مزایای همه این روش‌ها استفاده می‌کند و نتایج بهتری را نسبت به دیگر روش‌ها ارائه می‌دهد. نتایج مطالعات مشابه انجام شده در زمینه ارزیابی آسیب‌پذیری با استفاده از هوش مصنوعی توسط Fijani et al. (2013)، توانایی بالای مدل‌های هوش مصنوعی مرکب غیرخطی



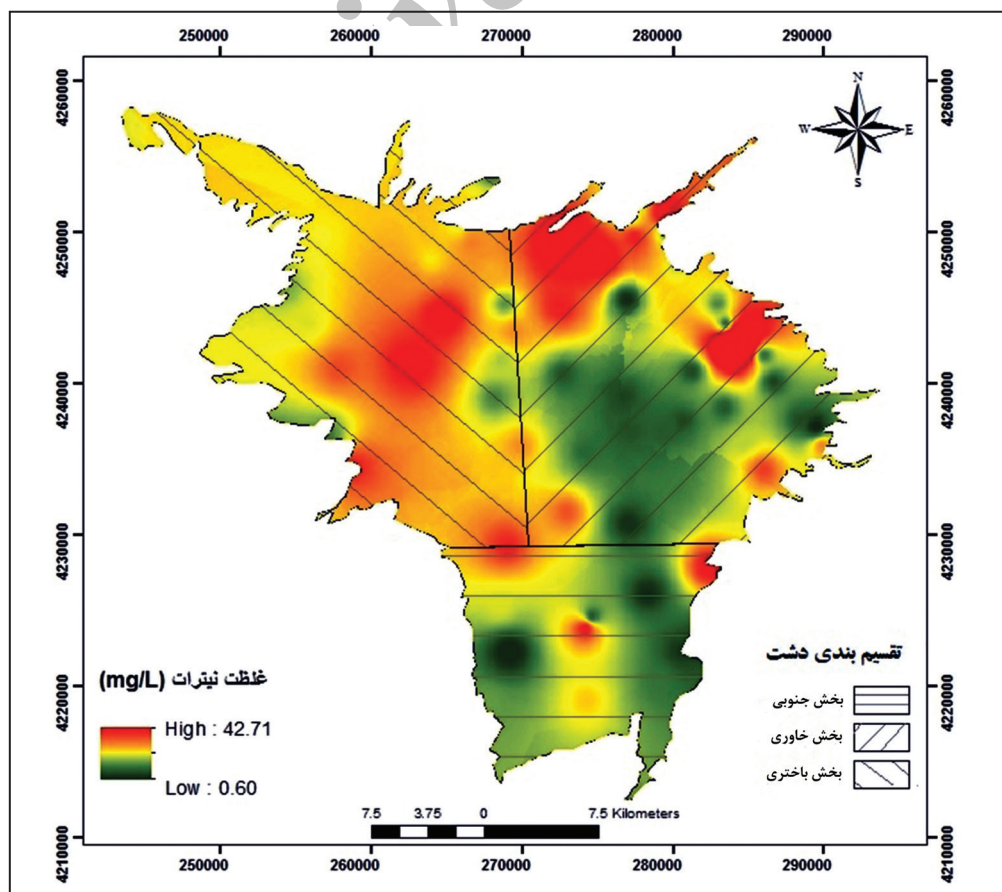
شکل ۱- منطقه مورد مطالعه و موقعیت نقاط نمونهبرداری برای غلظت‌های نیترات.



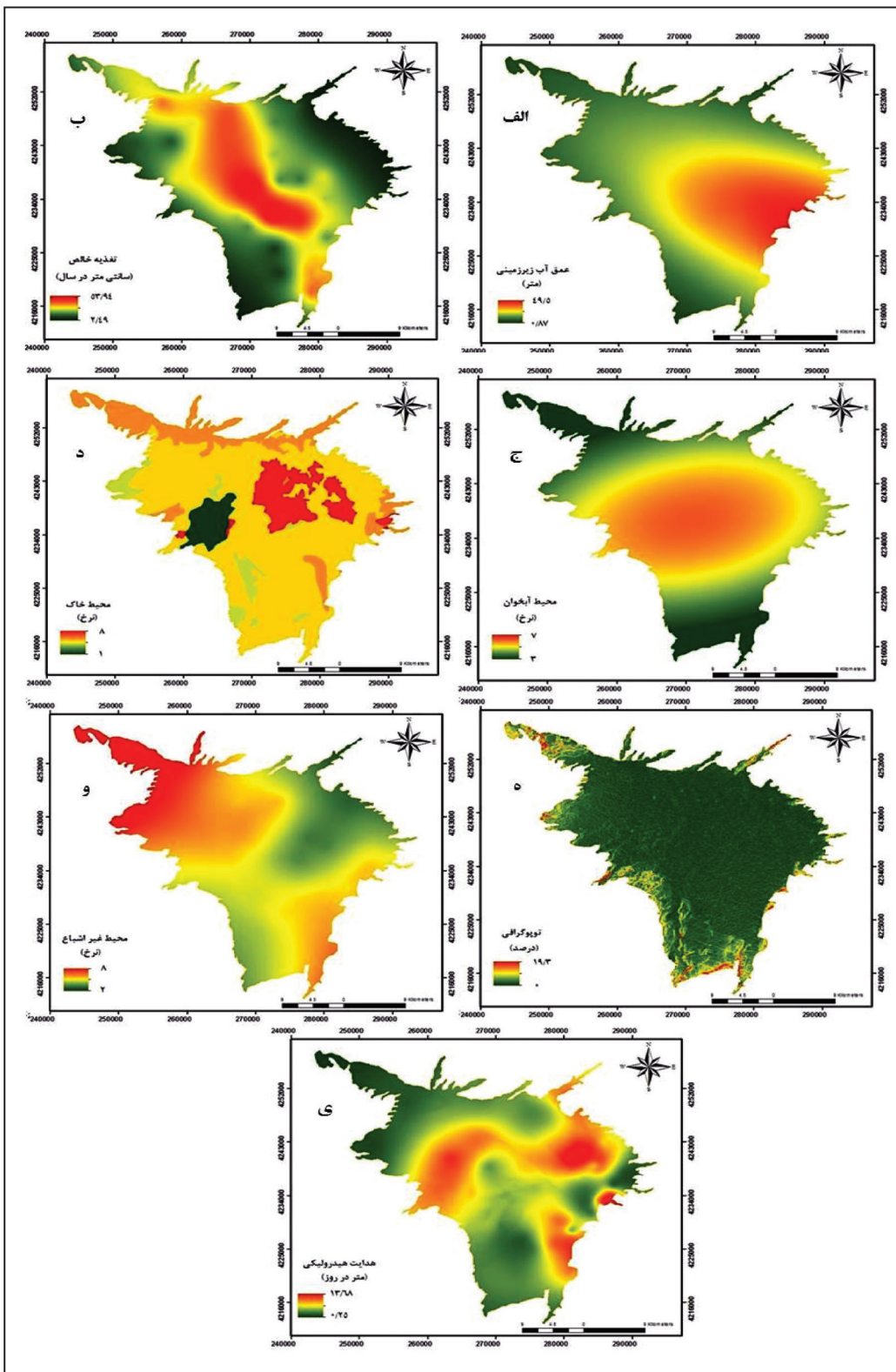
شکل ۲- ساختار شبکه عصبی مصنوعی (ANN).



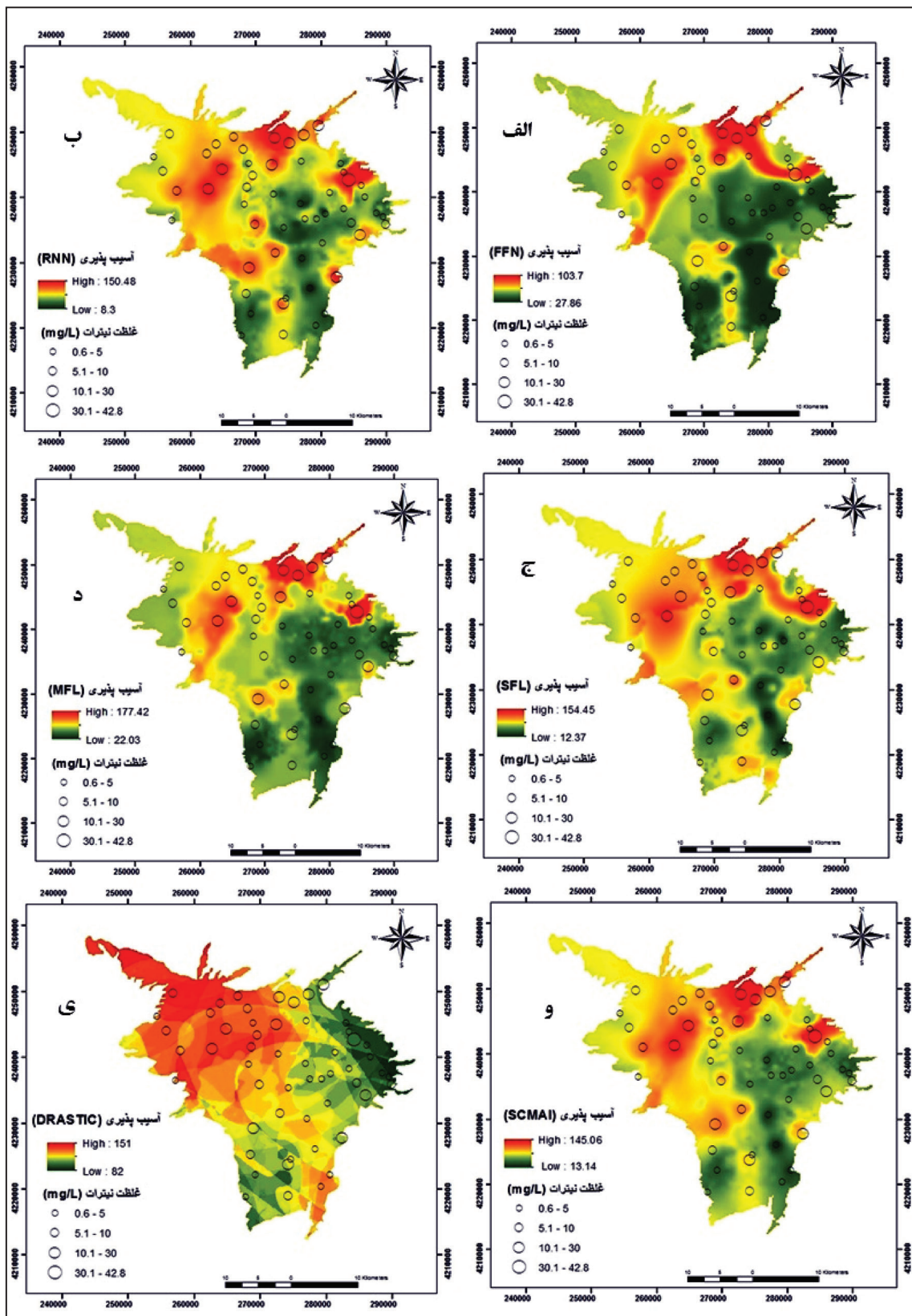
شکل ۳- تصویر نمادین از مدل SCMAI.



شکل ۴- توزیع مکانی غلظت نیترات در آب زیرزمینی منطقه.



شکل ۵- نقشه پنهانه بندی متغیرهای مدل دراستیک. (الف) ژرفای آب زیرزمینی؛ (ب) تغذیه خالص؛ (ج) محیط آبخوان؛ (د) محیط خاک؛ (ه) توپوگرافی؛ (و) محیط غیر اشباع؛ (ی) هدایت هیدرولیکی.



شکل ۶- نقشه آسیب پذیری آب زیرزمینی. (الف) مدل FFN؛ (ب) مدل RNN؛ (ج) مدل SFL؛ (د) مدل MFL؛ (ه) مدل SCMAI؛ (و) مدل DRASTIC.

جدول ۱- وزن دهنده متغیرهای مدل

.DRASTIC

وزن	متغیر
۵	ژرفای آب زیرزمینی
۴	تغذیه خالص
۳	محیط آبخوان
۲	محیط خاک
۱	توپوگرافی
۵	محیط غیرآشایش
۳	هدایت هیدرولیکی

جدول ۲- نتایج به دست آمده از مدل های مختلف هوش مصنوعی در مراحل آموزش و آزمایش.

نوع مدل						مراحل	بخش
SCMAI	MFL	SFL	RNN	FFN	معیار ارزیابی		
۰/۰۱	۰/۰۷	۰/۰۶	۰/۰۳	۰/۰۶	RRMSE	مرحله آموزش	بخش باخترسی
۱	۳/۲۶	۳/۰۶	۱/۳	۳/۰۶	MAE		
۰/۹۹	۰/۸۹	۰/۹۱	۰/۹۸	۰/۹۲	r		
۰/۰۲	۰/۰۷	۰/۱۹	۰/۱۴	۰/۱۲	RRMSE		
۱/۱۳	۴/۵۴	۵/۶۴	۶/۱۲	۶/۸۴	MAE	مرحله آزمایش	بخش خاوری
۰/۹۷	۰/۷۶	۰/۷۷	۰/۷۸	۰/۹۱	r		
۰/۱۱	۰/۲۶	۰/۷۶	۰/۲۳	۰/۲۵	RRMSE		
۳/۷۶	۹/۳۵	۸/۷۱	۷/۷۱	۸/۵۸	MAE		
۰/۹۲	۰/۸۶	۰/۸۶	۰/۹	۰/۸۳	r	مرحله آموزش	بخش جنوبی
۰/۹	۰/۱۳	۰/۳	۰/۱۹	۰/۱۵	RRMSE		
۵/۵۴	۵/۲۰	۵/۳۸	۷/۳۰	۶/۱۵	MAE		
۰/۹۲	۰/۸۱	۰/۷۷	۰/۸۳	۰/۷	r		
۰/۰۵	۰/۱۸	۰/۱۷	۰/۱	۰/۲۲	RRMSE	مرحله آموزش	مرحله آزمایش
۱/۸۱	۵/۱۷	۵/۷۹	۲/۶۰	۶/۰۹	MAE		
۰/۹۸	۰/۸۹	۰/۸۶	۰/۹۷	۰/۸۶	r		
۰/۰۷	۰/۰۸	۰/۱۱	۰/۱۱	۰/۱۳	RRMSE		
۲/۳۸	۳/۲۷	۴/۲۷	۴/۰۱	۴/۸۶	MAE	مرحله آموزش	مرحله آزمایش
۰/۹۷	۰/۷۸	۰/۷۴	۰/۸۵	۰/۸	r		

جدول ۳- انطباق چاههای اندازه‌گیری نیترات در چهار سطح آلودگی با نقشه‌های آسیب‌پذیری تهیه شده با روش‌های مختلف.

	غلظت نیترات										
	خیلی کم	کم	متوسط	زیاد	CI=۱۵۵	FFN	خیلی کم	کم	متوسط	زیاد	
DRASTIC										CI=۱۸۴	
کم	۱۰	۲	۲	۱			خیلی کم	۲۵	۱۴	۳	۰
متوسط	۱۷	۱۳	۹	۰			کم	۲	۱	۸	۱
SFL					CI=۱۸۶	MFL				CI=۱۹۰	
خیلی کم	۲۵	۱۳	۴	۰			خیلی کم	۲۷	۱۴	۲	۰
کم	۲	۲	۶	۰			کم	۰	۱	۷	۰
متوسط	۰	۰	۱	۱			متوسط	۰	۰	۱	۰
							زیاد	۰	۰	۱	۱
RNN					CI=۱۹۱	SCMAI				CI=۱۹۵	
خیلی کم	۲۶	۱۲	۱	۰			خیلی کم	۲۷	۱۰	۲	۰
کم	۱	۳	۹	۰			کم	۰	۵	۶	۰
متوسط	۰	۰	۱	۱			متوسط	۰	۰	۳	۱

## کتابنگاری

اصغری مقدم، ا. و فیجانی، ا. و ندیری، ع.، ۱۳۸۸- ارزیابی آسیب‌پذیری آب زیرزمینی دشت‌های بازارگان و پلشدشت با استفاده از مدل دراستیک بر اساس GIS. مجله محیط‌شناسی، شماره ۵۲، ص. ۵۵ تا ۶۴.

کرد، م.، ۱۳۹۳- مدلسازی عددی آبخوان دشت اردبیل و مدیریت آن با استفاده از بهینه‌سازی برداشت آن، رساله دکترا، دانشکده علوم طبیعی، دانشگاه تبریز، ۱۹۰ ص. ناصری، ح. و صارمی نژاد، ف.، ۱۳۹۰- مقایسه ارزیابی آسیب‌پذیری آبخوان به روش‌های DRASTIC و منطق فازی، مطالعه موردی: دشت گل‌گیر مسجد سلیمان. فصل نامه جغرافیای طبیعی، سال چهارم، شماره ۱۱، صص. ۱۷ تا ۳۴.

ندیری، ع.، ۱۳۸۶- پیش‌بینی سطح آب‌های زیرزمینی با استفاده از مدل شبکه‌های عصبی مصنوعی در محدوده مترو شهر تبریز، پایان‌نامه کارشناسی ارشد، دانشکده علوم طبیعی، دانشگاه تبریز، ۱۷۸ ص.

ندیری، ع.، ۱۳۹۲- مقایسه کارایی مدل‌های عددی و هوش مصنوعی در مدیریت آبخوان‌ها (مطالعه موردی: دشت تسوچ)، رساله دکترا، دانشکده علوم طبیعی، دانشگاه تبریز، ۲۳۰ ص. ندیری، ع.، اصغری مقدم، ا.، عقری، ه. و فیجانی، ا.، ۱۳۹۲- توسعه مدل‌های هوش مصنوعی مرکب در برآورد قابلیت انتقال آبخوان، مطالعه موردی: دشت تسوچ. تحقیقات منابع آب ایران، سال نهم، شماره ۱، ص. ۱۴ تا ۱.

نیک‌نام، ر.، محمدی، ک. و جوهری مجید، و.، ۱۳۸۶- ارزیابی آسیب‌پذیری سفره آب زیرزمینی تهران-کرج با روش DRASTIC و منطق فازی، مجله تحقیقات منابع آب ایران، سال سوم، شماره ۲، ص. ۳۹ تا ۴۷.

## References

- Aller, L., Bennett, T., Lehr, J. H., Petty, R. J. and Hackett, G., 1987- DRASTIC: A Standardized System for Evaluating Ground Water Pollution Potential Using Hydrogeologic Settings. EPA 600/2-87-035. U.S. Environmental Protection Agency, Ada, Oklahoma.
- Antonakos, A. K. and Lambrakis, N. I., 2007- Development and testing of three hybrid methods for the assessment of aquifer vulnerability to nitrates based on the drastic model, an example from NE Korinthia, Greece. Journal of Hydrology, 288– 304.
- Asadi, S., Hassan, M. and Nadiri, A., 2014- Artificial intelligence modeling to evaluate field performance of photocatalytic asphalt pavement for ambient air purification. Environ Sci Pollut Res, 21, 8847-8857.
- ASCE (Task Committee on Application of Artificial Neural Networks in Hydrology), 2000- Artificial neural network in hydrology, part I and II. J. Hydrol. Eng., 5(2), 115-137.

- Babiker, I. S., Mohamed, M. A. A., Hiyama, T. and Kato, K., 2005- A GIS-based DRASTIC model for assessing aquifer vulnerability in Kakamigahara Heights, Gifu Prefecture, central Japan. *Science of the Total Environment*, 345(1-3), 127-140.
- Chen, C. H. and Lin, Z. S., 2006- A committee machine with empirical formulas for permeability prediction. *Computer and Geoscience*, 32 (4), 485-496.
- Dixon, B., 2005- Applicability of neuro-fuzzy techniques in predicting ground-water vulnerability: a GIS-based sensitivity analysis. *Journal of Hydrology*, 309, 17-38.
- Dixon, B., Scott, H. D., Dixon, J. C. and Steele, K. F., 2002- Prediction of aquifer vulnerability to pesticides using fuzzy rule-based models at the regional scale. *Physical geography*, 23, 130-153.
- Fausett, L., 1994- Fundamentals of neural network. Prentice Hall, Englewood Cliffs, N. J., p. 461.
- Fijani, E., Nadiri, A. A., Asghari Moghaddam, A., Tsai, F. and Dixon, B., 2013- Optimization of DRASTIC Method by Supervised Committee Machine Artificial Intelligence to Assess Groundwater Vulnerability for Maragheh-Bonab Plain Aquifer, Iran. *Journal of hydrology*, 530, 89-100.
- Haykin, S., 1994- Neural networks: a comprehensive foundation. Macmillan College Publishing, New York.
- Hongxing, L., Chen, P. C. P. and Huang, H. P., 2000- Fuzzy Neural Intelligent System, Mathematical Foundation and the Application in Engineering. CRC Press, p. 392.
- Labani, M. M., Kadkhodaie-Ikhchi, A. and Salahshoor, K., 2010- Estimation of NMR log parameters from conventional well log data using a committee machine with intelligent systems: a case study from the Iranian part of the South Pars gas field, Persian Gulf Basin. *Journal of Petroleum Science and Engineering*, 72, 175-185.
- McLay, C. D. A., Dragten, R., Sparling, G. and Selvarajah, N., 2001- Predicting groundwater nitrate concentrations in a region of mixed agricultural land use: a comparison of three approaches. *Environmental Pollutants*, 115, 191-204.
- Nadiri, A. A., Chitsazan, N., Tsai, F. T. C. and Moghaddam, A. A., 2014- Bayesian Artificial Intelligence Model Averaging for Hydraulic Conductivity Estimation, *Journal of Hydrologic Engineering*, 19, 520-532.
- Nadiri, A. A., Fijani, E., Tsai, F. T. C. and Moghaddam, A. A., 2013- Supervised committee machine with artificial intelligence for prediction of fluoride concentration. *Journal of Hydroinformatics* 15: 1474-1490.
- Panagopoulos, G., Antonakos, A. and Lambrakis, N., 2005- Optimization of DRASTIC model for groundwater vulnerability assessment, by the use of simple statistical methods and GIS. *Hydrogeology Journal*.
- Pulido-Calvo, I. and Gutiérrez-Estrada, J. C., 2009- Improved irrigation water demand forecasting using a soft-computing hybrid model. *Biosystems Engineering* 102(2), pp 202-218.
- Secunda, S., Collin, M. L. and Melloul, A. J., 1998- Groundwater vulnerability assessment using a composite model combining DRASTIC with extensive agricultural land use in Israel's Sharon region. *Journal of Environmental Management*, 54, 39-57.
- Tayfur, G., Nadiri, A. A. and Moghaddam, A. A., 2014- Supervised Intelligent Committee Machine Method for Hydraulic Conductivity Estimation. *Water Resour Manage*, 28: 1173-1184.
- Vrba, J. and Zoporozec, A., 1994- Guidebook on mapping groundwater vulnerability. International Contributions to Hydrogeology, Verlag Heinz Heise GmbH and Co, KG.
- Zadeh, L. A., 1965- Fuzzy sets. *Information and Control*, 8 (3), pp 338-353.

# Using supervised committee machine artificial intelligent model for improving DRASTIC model (case study: Ardabil plain aquifer)

M. Gharekhani<sup>1</sup>, A. A. Nadiri<sup>2\*</sup> and A. Asghari Moghaddam<sup>3</sup>

<sup>1</sup>Ph.D. Student, Faculty of Natural Science, University of Tabriz, Tabriz, Iran

<sup>2</sup>Assistant Professor, Faculty of Natural Science, University of Tabriz, Tabriz, Iran

<sup>3</sup>Professor, Faculty of Natural Science, University of Tabriz, Tabriz, Iran

Received: 2016 April 30

Accepted: 2016 August 15

## Abstract

Due to the infiltration of contaminants from surface to underground water systems, groundwater pollution is one of the serious problems, especially in arid and semi-arid areas that encounter with lack of quality and quantity of water resources. Therefore, groundwater vulnerability evaluation is necessary to manage the ground water resources by identifying areas with high potential of contamination. In this study, ground water vulnerability in Ardabil plain aquifer was evaluated by applying DRASTIC model. DRASTIC model was prepared by seven effective parameters on vulnerability, including groundwater depth, net recharge, aquifer media, soil media, topography, impact of vadose zone, and hydraulic conductivity. These parameters were prepared as seven raster layers, then DRASTIC index was then calculated after ranking and weighting. The DRASTIC index value was obtained between 82 to 151 for the Ardabil plain. The main problem of this model is the subjectivity in determining rates and weights of the parameters. Therefore, the purpose of this study is to improve DRASTIC model using the 5 methods of artificial intelligence (AI), such as Feedforward network (FFN), Recurrent neural network (RNN), Sugeno fuzzy logic (SFL), Mamdani fuzzy logic (MFL), and Committee machine (CM) to obtain the most accurate results of vulnerability evaluation. With respect to Ardabil plain heterogeneity, It is, divided into 3 sections including west, east and north, and each section needs an individual model. For this purpose, the DRASTIC parameters and the vulnerability index were defined as inputs data and output data respectively for models, and nitrate concentration data were divided into two categories for training and test steps. The output of model in training step was corrected by the related nitrate concentration, and after model training, the output of model in test step was verified by the nitrate concentration. The results show that all of the artificial intelligence methods are able to improve the DRASTIC model, but the supervised committee machine artificial intelligence (SCMAI) model had the best results. According to this model, the most of high pollution potential areas located in western and northern parts of the plain, and where need more protection.

**Keywords:** Groundwater Vulnerability, Ardabil Plain, DRASTIC, Artificial Intelligence, SCMAI model.

For Persian Version see pages 113 to 124

\*Corresponding author: A. A. Nadiri; E-mail: nadiri@tabrizu.ac.ir